

文章编号: 1000-324X(2016)03-0263-06

DOI: 10.15541/jim20150342

# SnS掺杂对P3HT/PCBM体系太阳能电池光电特性的影响研究

陆冠宏<sup>1,2</sup>, 赵新洛<sup>1</sup>, 王焱<sup>2</sup>, 朱书影<sup>2</sup>, 孙静<sup>2</sup>, 谢晓峰<sup>2</sup>

(1. 上海大学 理学院, 上海 200444; 2. 中国科学院 上海硅酸盐研究所, 上海 200050)

**摘要:** 采用连续离子层吸附反应法(SILAR)在TiO<sub>2</sub>/FTO电极上沉积SnS, 组装结构为FTO/TiO<sub>2</sub>/SnS/P3HT:PCBM/Ag的多层异质结太阳能电池, 结果显示: SnS掺杂能显著提高P3HT:PCBM体系太阳能电池的光电转化性能。通过SEM观察、UV-Vis光谱、J-V曲线、Raman光谱以及射频辉光放电光谱仪(GD-OES)等手段, 系统研究了不同前驱体液浓度制备的SnS对电池的影响, 发现当n(Sn<sup>2+</sup>):n(S<sup>2-</sup>)为1:1.5时, 电池的光电转化效率最高, 达到0.369%, 其开路电压、短路电流和填充因子分别达到0.373 V、1.92 mA/cm<sup>2</sup>和51.2%。另外, GD-OES谱图显示前驱体溶液中Sn<sup>2+</sup>/S<sup>2-</sup>比例对于SnS<sub>x</sub>层的化学组成及沉淀量具有重要影响, 从而导致复合太阳能电池光电性能的显著变化。

**关键词:** 太阳能电池; 连续离子层吸附反应; 硫化亚锡; 多层异质结

中图分类号: TQ174 文献标识码: A

## Effects of SnS Doping on Photovoltaic Performance of P3HT:PCBM Multilayer Heterojunction Solar Cells

LU Guan-Hong<sup>1,2</sup>, ZHAO Xin-Luo<sup>1</sup>, WANG Yan<sup>2</sup>, ZHU Shu-Ying<sup>2</sup>, SUN Jing<sup>2</sup>, XIE Xiao-Feng<sup>2</sup>

(1. College of Sciences, Shanghai University, Shanghai 200444, China; 2. Shanghai Institute of Ceramics, Chinese Academy of Sciences, Shanghai 200050, China)

**Abstract:** SnS was deposited on the surface of FTO/TiO<sub>2</sub> electrodes with different molar concentration ratio of Sn<sup>2+</sup> and S<sup>2-</sup> using successive ionic layer absorption and reaction (SILAR) method. Afterwards, the as-prepared TiO<sub>2</sub>/SnS composite electrode was assembled into a multilayer heterojunction solar cell with an architecture of FTO/TiO<sub>2</sub>/SnS/P3HT:PCBM/Ag. The TiO<sub>2</sub>/SnS composite films were characterized by scanning electron microscopy (SEM), Raman spectra analysis and Glow discharge optical emission spectrometer (GD-OES). The photovoltaic performance of solar cells were determined using UV-Vis spectra and I-V curves. Results showed that incorporation of SnS significantly improved the short-circuit current of the multilayer heterojunction solar cells. Meanwhile, the dependence of the photovoltaic performance of solar cells on the molar concentration ratio of Sn<sup>2+</sup>/S<sup>2-</sup> was investigated systematically. During the SILAR processes, a series of electrodes were prepared in the precursor solutions with different Sn<sup>2+</sup>/S<sup>2-</sup> molar concentration ratios ( $n(\text{Sn}^{2+}):n(\text{S}^{2-}) = 1:1, 1:1.25, 1:1.5, 1:1.75$  and  $1:2$ ). Moreover, GD-OES method distinguished the effects of Sn<sup>2+</sup>/S<sup>2-</sup> ratio on the SnS<sub>x</sub> layer deposition. It was found that the Sn<sup>2+</sup>/S<sup>2-</sup> ratio of SILAR precursors, dominated by thickness and chemical composition of SnS<sub>x</sub>, affected photovoltaic performance of the solar cells significantly. I-V test results testified that the ratio of Sn<sup>2+</sup>/S<sup>2-</sup> molar concentration was optimized at 1:1.5, which resulted in the highest photoelectric conversion efficiency. The open-circuit voltage ( $V_{oc}$ ), short-circuit current density ( $J_{sc}$ ), fill factor ( $FF$ ), and power conver-

收稿日期: 2015-07-20; 收到修改稿日期: 2015-11-17

基金项目: 国家自然科学基金(51102264); 广东省中国科学院全面战略合作专项基金(2013B091100002)

National Natural Science Foundation of China (51102264); Strategic Cooperation Project of Chinese Academy of Sciences and Guangdong Government (2013B091100002)

作者简介: 陆冠宏(1991-), 男, 硕士研究生. E-mail: lgngd09@163.com

通讯作者: 谢晓峰, 副研究员. E-mail: xxfshen@163.com

sion efficiency (*PCE*) reached 0.373 V, 1.92 mA/cm<sup>2</sup>, 51.2%, and 0.369%, respectively.

**Key words:** solar cells; SILAR; SnS; multilayer heterojunction

近年来,通过湿化学途径制备有机半导体和有机/无机异质结材料在很大程度上降低了太阳能电池的成本,因此得到人们的广泛重视。其中一些无机半导体材料,如部分IV-VI族化合物 CdS<sup>[1]</sup>、CdSe<sup>[2]</sup>、PbS<sup>[3]</sup>、CdS/CdSe<sup>[4-5]</sup>、CdTe/CdSe<sup>[6]</sup>等被广泛应用于有机/无机杂化太阳能电池,并且取得了较高的光电转化效率。

但上述化合物都存在一定的毒性,在实际应用中受到诸多限制。这要求寻找一种环境更加友好的材料。SnS 在可见光范围内具有较高的光吸收强度,且低毒和元素储量丰富,是一种理想的半导体材料<sup>[7-10]</sup>。最近几年,人们在 SnS 基太阳能电池方面也做了大量的工作。Wang 等<sup>[8]</sup>用化学浴沉积方法制备了 SnS 量子点,并设计了 FTO/Pt+电解液+SnS/TiO<sub>2</sub>/FTO 的结构,得到接近 0.1% 的转化效率; Miyauchi 等<sup>[11]</sup>在介孔 TiO<sub>2</sub> 上用连续离子吸附沉积反应方法沉积 SnS,得到了转化效率略低于 0.1% 的电池。Oda 等<sup>[12]</sup>通过水热法制备 SnS 量子点,再组装结构为 FTO/ TiO<sub>2</sub>/SnS/ Spiro-OMeTAD/Au 的太阳能电池,得到 0.0102% 的转化效率。张晓萍等<sup>[13]</sup>用简单的离子交换方法制备 SnS 敏化 TiO<sub>2</sub> 薄膜电极,并采用聚苯胺作对电极,组装太阳能电池,得到 1.27% 的转化效率。

虽然人们在 SnS 基太阳能电池方面做了很多研究,但是电池的光电性能远远达不到 SnS 基太阳能电池的理论效率(24%)<sup>[14]</sup>。主要原因有以下两点:(1)常用缓冲层不能与 SnS 形成良好的导带弯曲,从而光生电子空穴对在界面处不能有效实现分离<sup>[7]</sup>;(2)化学法制备 SnS 过程中,由于溶液中 Sn 源和 S 源比例问题,SnS 中会生成其他化合物如 Sn<sub>2</sub>S<sub>3</sub> 和 SnS<sub>2</sub><sup>[15-16]</sup>。针对上述原因,本实验系统研究了 SnS 掺杂对于 P3HT:PCBM 体系太阳能电池性能的影响,其中 P3HT: PCBM 也被广泛应用于有机异质结太阳能电池<sup>[17-21]</sup>。而引入 SnS 既充当了光吸收材料,又降低了在电子/空穴施主材料界面光生电子空穴对复合效率,从而提高电池性能。本实验中还讨论了用连续离子吸附沉积反应法沉积 SnS 时,不同实验条件对于 SnS 层中 Sn 和 S 元素比例的影响。

## 1 实验方法

### 1.1 氧化钛光阳极薄膜的制备

将切割好的 FTO 导电玻璃在去离子水、乙醇、丙

酮和异丙醇中分别超声洗涤 15 min,烘干后备用。将 369 μL 异丙醇钛溶于 2.53 mL 异丙醇中,得到 0.46 mol/L 异丙醇钛溶液,记为溶液 A; 将 35 μL 2 mol/L 稀盐酸溶于 2.53 mL 异丙醇中,得到 0.026 mol/L 稀盐酸,记为溶液 B。在强力搅拌下将前述前驱体溶液等体积混合,得到的溶液旋涂在干净的 FTO 上,旋涂速率和时间分别为 6000 r/min 和 60 s, 65℃下烘干后 500 ℃下烧结 30 min, 经 25 mmol/L TiCl<sub>4</sub> 溶液 70 ℃下处理 60 min, 再在 500℃下烧结 30 min, 得到致密层 TiO<sub>2</sub> 薄膜<sup>[22]</sup>。

将 Ti-Nanoxide T/Sp 浆料与无水乙醇按质量比 1:3.5 进行稀释,用旋涂法制备介孔层 TiO<sub>2</sub>, 旋涂的速率和时间分别为 2000 r/min 和 30 s, 在 65℃烘干后,在 500℃下烧结 30 min, 经 25 mmol/L TiCl<sub>4</sub> 溶液 70℃下处理 60 min, 再在 500℃下烧结 30 min, 得到介孔层 TiO<sub>2</sub>。

### 1.2 TiO<sub>2</sub>/SnS/P3HT:PCBM 复合电极的制备

称取 0.2708 g SnCl<sub>2</sub> · 2H<sub>2</sub>O 溶于 10 mL 乙二醇和 2 mL 三乙醇胺,并用盐酸将溶液 pH 调节至 3~5; 记为溶液 C, 将 0.2404 g Na<sub>2</sub>S · 9H<sub>2</sub>O 溶于 10 mL 水中,并用 NH<sub>4</sub>Cl 将溶液 pH 调节至 9~11, 记为溶液 D。该方法与 Miyauchi<sup>[11]</sup>报道的相似,且本实验还严格控制了溶液 pH。将上述制备好的 TiO<sub>2</sub> 薄膜依次在溶液 C 中浸泡 20 s → 去离子水中浸泡 10 s → 溶液 B 中浸泡 20 s → 去离子水中浸泡 10 s, 此为一个周期,总共沉积 5 次,得到  $n(\text{Sn}^{2+}):n(\text{S}^{2-})=1:1$  的样品。

为了对比不同前驱体溶液浓度制备的 SnS 对电池的影响,在保持 SnCl<sub>2</sub> · 2H<sub>2</sub>O 浓度不变的情况下,依次增大 Na<sub>2</sub>S · 9H<sub>2</sub>O 水溶液浓度,分别沉积  $n(\text{Sn}^{2+}):n(\text{S}^{2-})=1:1.25$ 、1:1.5、1:1.75 及 1:2 的样品,将沉积 SnS 的 TiO<sub>2</sub> 复合电极在 Ar 气氛下 250℃保温 3 h。将 30 mg P3HT 和 30 mg PCBM 溶解在 2 mL 1, 2-二氯苯中,避光搅拌 24 h, 得到 15 mg/mL P3HT: PCBM 溶液,将该溶液在手套箱中用旋涂法在 FTO/TiO<sub>2</sub>/SnS 复合电极上制备 P3HT: PCBM 薄膜, 旋涂速率及时间分别为 2500 r/min 和 30 s, 并在加热台上 100℃热处理 10 min。无 SnS 电池标记为 S0, 将前驱体配比  $n(\text{Sn}^{2+}):n(\text{S}^{2-})=1:1$ 、1:1.25、1:1.5、1:1.75 及 1:2 的 SnS 的电池样品分别记为 S1、S2、S3、S4、S5。

### 1.3 电池的组装

将上述制备的 FTO/TiO<sub>2</sub>/SnS/P3HT:PCBM 复合电极以热蒸镀的方式镀上一层厚度约 100 nm 的银电

极, 电池的有效面积为  $0.24 \text{ cm}^2$ 。所采用的蒸镀设备为 ZHD300 高真空电阻蒸发镀膜机。

#### 1.4 表征

用 Hitachi S8200 场发射扫描电子显微镜观察样品的形貌。用 DXR 显微拉曼光谱仪测试样品的拉曼光谱。用 Lambda 950 UV/Vis spectrometer 测试样品吸收光谱。用 Keithley 2400 型氙灯光源提供 AM1.5G 模拟太阳光 ( $100 \text{ mW/cm}^2$ ) 测试电池的电流-电压曲线。利用美国 ThermoFisher Scientific 公司生产的微区拉曼光谱仪(DXR Raman Microscope)对样品进行成分分析。使用 HORIBA Scientific 公司生产的型号为 GD-Profiler 2 辉光放电光谱仪对样品的元素含量进行测试分析。

## 2 结果与讨论

研究采用 FTO/TiO<sub>2</sub>/SnS/P3HT:PCBM/Ag 结构组装太阳能电池, 结构示意图如图 1 所示。实验采用多层异质结结构设计电池, 太阳能电池活性层则由施主材料和受主材料混合而成, 增加了两种材料的接触面积, 极大地减小了激子的扩散距离, 使得更多激子在界面处有效分离, 从而进一步提高光电转化性能。

图 2 是 TiO<sub>2</sub>/SnS/P3HT:PCBM 复合电极的 SEM 照片。图 2(a,b)分别是 TiO<sub>2</sub> 电极表面和截面 SEM 照

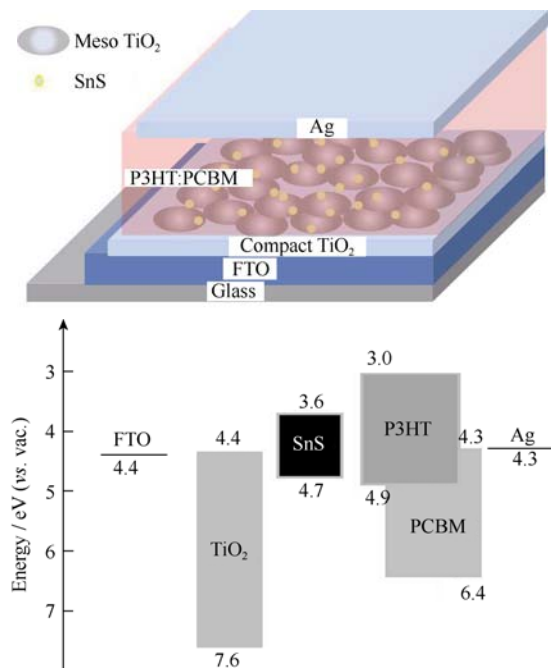


图 1 多层异质结太阳能电池结构及能级示意图  
Fig. 1 Structure and energy-level alignment of the multilayer heterojunction solar cell

片, 由图中可以观察到, 由 TiO<sub>2</sub> 纳米颗粒堆积而成 TiO<sub>2</sub> 薄膜呈均匀多孔形貌。图 2(c,d)是沉积 SnS 后 TiO<sub>2</sub> 表面和截面 SEM 照片, 从图中可以看出, 连续离子吸附沉积反应法(SILAR)沉积的 SnS 是以颗粒形式均匀负载在 TiO<sub>2</sub> 纳米颗粒上, 由于沉积量比较少, SnS 颗粒没有完全充满 TiO<sub>2</sub> 薄膜孔隙, 这将有利于后续 P3HT: PCBM 溶液在介孔层 TiO<sub>2</sub> 中的渗透吸附。此外, 对比图 2(a)和(c)可以发现, SnS 沉积后, 表面形貌没有发生明显变化, 仍呈均匀多孔形貌。图 2(e)是 TiO<sub>2</sub>/SnS 复合电极表面旋涂 P3HT: PCBM 薄膜后表面 SEM 照片, 可以明显看到, TiO<sub>2</sub>/SnS 层旋涂 P3HT: PCBM 薄膜后, 表面变得光滑平整。图 2(f)是组装后电池截面的 SEM 照片, 从图中可以看出 TiO<sub>2</sub>/SnS 复合电极的孔隙被 P3HT: PCBM 填充完全, 形成良好界面接触。而厚度大约 300 nm 的 TiO<sub>2</sub> 介孔层可以提高 P3HT: PCBM 二元光吸收材料的吸附量, 其中致密层 TiO<sub>2</sub> 能够阻隔 P3HT: PCBM 二元混合物与 FTO 直接接触, 防止短路现象。

图 3 是不同 Sn<sup>2+</sup>/S<sup>2-</sup>比例前驱体溶液沉积 TiO<sub>2</sub>/SnS 复合电极的紫外-可见吸收光谱。由图 3 可知, 沉

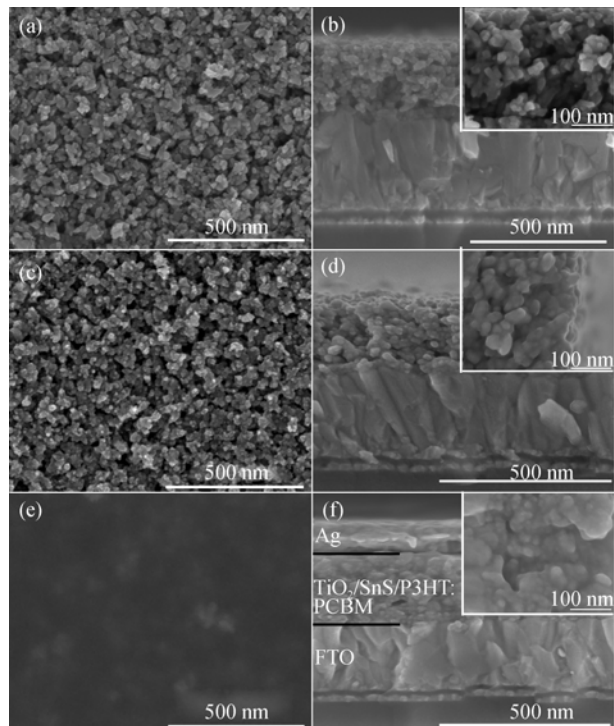


图 2 TiO<sub>2</sub>/SnS/P3HT:PCBM 复合电极的 SEM 照片  
Fig. 2 SEM images of TiO<sub>2</sub>/SnS/P3HT:PCBM multilayer electrodes  
(a) Surface of TiO<sub>2</sub> electrode; (b) Side view of TiO<sub>2</sub> electrode; (c) Surface of TiO<sub>2</sub>/SnS composite electrode; (d) Side view of TiO<sub>2</sub>/SnS composite electrode; (e) Surface of TiO<sub>2</sub>/SnS/P3HT:PCBM composite electrode; (f) Side view of the multilayer heterojunction solar cell

积 SnS 后薄膜光吸收性能在可见光区域有了显著提高，在 350~700 nm 之间有一个较宽吸收峰，这与大多数文章报道一致<sup>[9, 23]</sup>。这是因为 SnS 是典型的窄带隙半导体材料，它的直接带隙是 1.1~1.5 eV，当 SnS 和 TiO<sub>2</sub> 复合时，能将复合电极的吸光范围扩大到可见光。S1~S5 的吸收边基本一致，说明不同 Sn<sup>2+</sup>/S<sup>2-</sup> 比例前驱体溶液沉积所得的产物带隙基本保持不变。S1~S5 在相同波长下吸收强度的不同可能是因为 SnS 的沉积量不同导致的。

图 4 是不同 Sn<sup>2+</sup>/S<sup>2-</sup> 比例前驱体溶液制备多层异质结太阳能电池的 I-V 曲线，具体光电性能参数列于表 1 中。其中 S1~S5 电池结构为 FTO/TiO<sub>2</sub>/SnS/P3HT:PCBM/Ag；S0 电池结构为：FTO/TiO<sub>2</sub>/P3HT:PCBM/Ag)。相对于 S0 电池，S1~S5 复合电池的短路电流

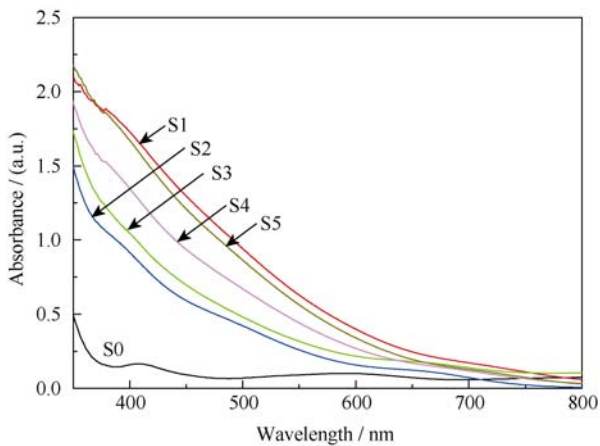


图 3 不同 Sn<sup>2+</sup>/S<sup>2-</sup> 比例前驱体溶液沉积 TiO<sub>2</sub>/SnS 复合薄膜的紫外-可见吸收光谱

Fig. 3 UV-Vis adsorption spectra of as-prepared TiO<sub>2</sub>/SnS films deposited in precursor solutions with different Sn<sup>2+</sup>/S<sup>2-</sup> concentration ratios

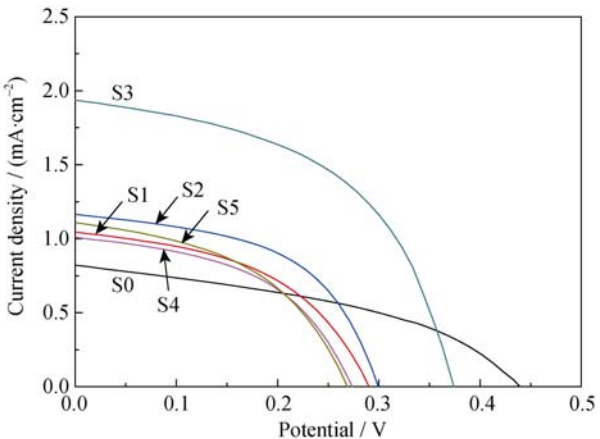


图 4 不同 Sn<sup>2+</sup>/S<sup>2-</sup> 比例前驱体溶液制备多层异质结太阳能电池的 I-V 曲线

Fig. 4 I-V curves of the multilayer solar cells deposited in precursor solutions with different Sn<sup>2+</sup>/S<sup>2-</sup> concentration ratios

表 1 S0~S5 多层异质结太阳能电池光电性能参数

Table 1 Photovoltaic parameters including  $V_{oc}$ ,  $J_{sc}$ , FF and PCE of the multilayer heterojunction solar cells (S0~S5)

Sample	$V_{oc}$ /V	$J_{sc}$ /(mA·cm <sup>-2</sup> )	FF/%	PCE/%
S0	0.440	0.81	41.5	0.148
S1	0.286	1.03	47.0	0.139
S2	0.296	1.15	51.9	0.177
S3	0.373	1.92	51.2	0.369
S4	0.269	1.00	48.1	0.129
S5	0.264	1.09	45.7	0.132

显著提高，原因如下：TiO<sub>2</sub> 是 N 型半导体，SnS 是 P 型半导体，TiO<sub>2</sub>/SnS 界面处产生向上的能带弯曲，这样的能带结构有利于电子空穴在界面处发生快速转移；适量掺杂 SnS，使得 P3HT: PCBM 光生电子空穴对在界面处有效地克服彼此之间库伦吸引，从而极大地提高电子空穴对在界面处分离效率<sup>[24]</sup>。从表 1 可以看出，掺杂 SnS 电池的开路电压比未掺杂的电池都要低，这是因为开路电压在理论上对应 TiO<sub>2</sub> 电极(或 TiO<sub>2</sub>/SnS 复合电极)费米能级和 P3HT 费米能级之间的电势之差，纯 TiO<sub>2</sub> 电极的费米能级比 TiO<sub>2</sub>/SnS 复合电极的准费米能级具有更负的电势，所以沉积 SnS 后的电池具有较低的开路电压。通过对比发现，不同前驱体溶液浓度沉积的 SnS 也会影响电池光电性能，由表 1 可知，当  $n(\text{Sn}^{2+}):n(\text{S}^{2-})=1:1.5$  时，电池具有最大短路电流密度以及光电转化效率；而 S1、S4 和 S5 的转化效率均低于 S0。对此，实验对不同沉积条件制备样品分别做了拉曼和射频辉光放电测试。图 5 是不同 Sn<sup>2+</sup>/S<sup>2-</sup> 比例前驱体溶液沉积 TiO<sub>2</sub>/SnS 复合电极的拉曼光谱，在 149 和 643 cm<sup>-1</sup> 处拉曼峰对应 TiO<sub>2</sub> 的特征峰，在 317 cm<sup>-1</sup> 处拉曼峰则对应 SnS<sub>2</sub> 的特征峰，表明在电池制备过程中，部分 SnS 被氧化成 SnS<sub>2</sub>。目前文献报道的 SnS 的拉曼峰位主要在 288、220、189、163 和 96 cm<sup>-1</sup>，本实验中 SnS 的峰位在 96 和 220 cm<sup>-1</sup> 发生偏移，这里主要是由于 SnS 纳米颗粒的尺寸效应导致。Sohila 等<sup>[25]</sup>发现 SnS 纳米颗粒 Raman 图谱峰位(182 和 229 cm<sup>-1</sup>)相对于单晶峰位(194 和 239 cm<sup>-1</sup>)发生了偏移；Liu 等<sup>[26]</sup>也在 SnS 纳米线上发现了拉曼峰位偏移，认为这可能是光子限域效应造成的。从拉曼图谱上还可以发现，当 S<sup>2-</sup> 浓度过高时，S4、S5 样品中 SnS 相对含量偏少，SnS<sub>2</sub> 特征峰更加明显，这可能是因为当 S<sup>2-</sup> 浓度过高时，沉积反应更加倾向于生成 SnS<sub>2</sub>。而当 S<sup>2-</sup> 浓度过低时，S1、S2 样品中 99 cm<sup>-1</sup> 处的 SnS 拉曼峰相对更加明显，说明更容易生成 SnS 纳米晶体。本实验中 S1、S2 电池光电转化效率相对过低是因为在过低的 S<sup>2-</sup> 浓度下，

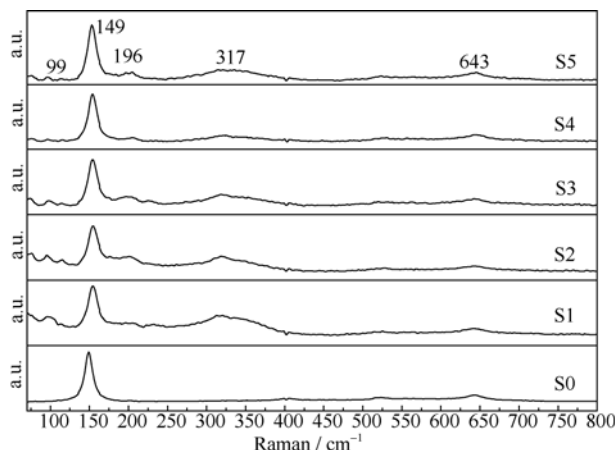


图5 不同 $\text{Sn}^{2+}/\text{S}^{2-}$ 比例前驱体溶液沉积 $\text{TiO}_2/\text{SnS}$ 复合电极的拉曼光谱

Fig. 5 Raman spectra of as-prepared  $\text{TiO}_2/\text{SnS}$  deposited in precursor solutions with different  $\text{Sn}^{2+}/\text{S}^{2-}$  concentration ratios

沉积反应速度缓慢,使得大量小粒径 $\text{SnS}$ 颗粒均匀包覆在 $\text{TiO}_2$ 表面,阻碍了 $\text{TiO}_2$ 薄膜与P3HT:PCBM的界面接触,从而降低了激子分离效率。而S4、S5电池光电转化效率过低是因为生成更多 $\text{SnS}_2$ ,且 $\text{S}^{2-}$ 浓度过高,生成的 $\text{SnS}$ 和 $\text{SnS}_2$ 会在 $\text{TiO}_2$ 薄膜表面团聚成大颗粒,对后期P3HT:PCBM溶液在 $\text{TiO}_2$ 孔道中的浸润产生不利影响。

图6是太阳能电池样品中Sn和S元素分布曲线,这里的元素分布曲线是采用辉光放电光谱仪(GD-OES)采集信号的,主要反映样品中所有元素的深度分布和含量,同一个样品中不同元素的响应信号都是独立的,所以只能对比不同前驱体浓度沉积的 $\text{SnS}$ 中Sn元素和S元素的各自相对含量,所以这里用 $\text{SnS}_x$ 表述 $\text{SnS}$ 和 $\text{SnS}_2$ 。图6(a)是S元素随时间(深度)分布曲线,图6(b)是Sn元素随时间(深度)分布曲线。图6中,按时间变化共分为4个阶段:I阶段是Ag电极区域,II阶段是 $\text{TiO}_2/\text{SnS}/\text{P3HT:PCBM}$ 区域,III阶段是FTO区域,IV阶段是玻璃基底。对比两图发现,图6(b)在III阶段有一个很强的Sn元素响应峰,而图6(a)在III阶段没有明显的S响应,这是因为FTO是掺杂F的 $\text{SnO}_2$ ,说明GD-OES方法能很好分辨不同涂层深度的元素分布。从图6可以发现,S3样品的 $\text{SnS}_x$ 的沉积量最少,而S4样品的 $\text{SnS}_x$ 的沉积量最多,S1、S2和S5样品所含 $\text{SnS}_x$ 的量相当接近,处于中间值,这说明SILAR方法中前驱体溶液中不同 $\text{Sn}^{2+}/\text{S}^{2-}$ 比例将直接影响 $\text{SnS}_x$ 的沉积量,从而对电池的最终性能造成影响。结合图4和表1,可以认为当 $n(\text{Sn}^{2+}):n(\text{S}^{2-})=1:1.5$ 时, $\text{SnS}_x$ 沉积量能够最有效改善复合太阳能电池的光电性能。 $n(\text{Sn}^{2+}):n(\text{S}^{2-})=1:1.5$ 是最佳的前驱体溶液浓度配比。

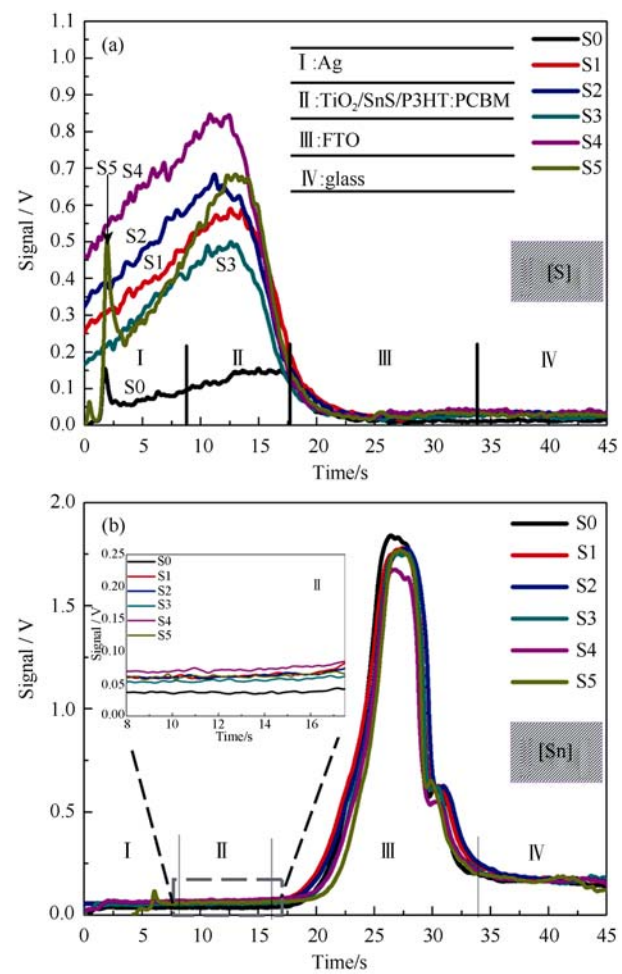


图6 S0~S5太阳能电池样品中Sn和S元素分布曲线

Fig. 6 Sn and S elements distribution curves of solar cells  
(a) S elements distribution curve; (b) Sn elements distribution curve (I / II / III / IV corresponding to Ag,  $\text{TiO}_2/\text{SnS}/\text{P3HT:PCBM}$ , FTO, Glass)

### 3 结论

1)  $\text{SnS}$ 原位沉积在 $\text{TiO}_2$ 薄膜表面,形成FTO/ $\text{TiO}_2/\text{SnS}/\text{P3HT:PCBM}$ 复合电极,改善了P3HT/PCBM体系太阳能电池的光电转化性能,提高了短路电流和填充因子。

2) 用SILAR法沉积一系列不同 $\text{Sn}^{2+}/\text{S}^{2-}$ 比例的 $\text{SnS}$ 在 $\text{TiO}_2$ 层表面,通过UV-Vis、J-V曲线、Raman光谱以及GD-OES等方法详细分析了多层异质结电池的结构特征与光电性能,发现当前驱体溶液浓度不同时,沉积 $\text{SnS}$ 化合物具有不同元素配比及沉积量,其对于多层异质结电池的光电性能存在较大影响。当SILAR方法中前驱体溶液浓度配比为 $n(\text{Sn}^{2+}):n(\text{S}^{2-})=1:1.5$ 时,制备的电池样品具有最佳光电转化特性。

### 参考文献:

- [1] HOSSAIN M A, KOH Z Y, WANG Q. PbS/CdS-sensitized

- mesoscopic SnO<sub>2</sub> solar cells for enhanced infrared light harnessing. *Phys. Chem. Chem. Phys.*, 2012, **14(20)**: 7367–7374.
- [2] HOSSAIN M A, JENNINGS J R, SHEN C, et al. CdSe-sensitized mesoscopic TiO<sub>2</sub> solar cells exhibiting > 5% efficiency: redundancy of CdS buffer layer. *J. Mater. Chem.*, 2012, **22(32)**: 16235–16242.
- [3] ITZHAKOV S, SHEN H P, BUHBUK S, et al. Type-II quantum-dot-sensitized solar cell spanning the visible and near-infrared spectrum. *J. Phys. Chem. C*, 2013, **117(43)**: 22203–22210.
- [4] LEE J W, SON D Y, AHN T K, et al. Quantum-dot-sensitized solar cell with unprecedentedly high photocurrent. *Sci. Rep.*, 2013, **3**: 10501–10508.
- [5] SANTRA P K, KAMAT P V. Mn-Doped Quantum dot sensitized solar cells: a strategy to boost efficiency over 5%. *J. Am. Chem. Soc.*, 2012, **134(5)**: 2508–2511.
- [6] ZHU G, PAN L, XU T, et al. CdS/CdSe-cosensitized TiO<sub>2</sub> photoanode for quantum-dot-sensitized solar cells by a microwave-assisted chemical bath deposition method. *ACS Appl. Mater. Interfaces*, 2011, **3(8)**: 3146–3151.
- [7] SINSEMSUAKUL P, HARTMAN K, KIM S B, et al. Enhancing the efficiency of SnS solar cells via band-offset engineering with a zinc oxysulfide buffer layer. *Appl. Phys. Lett.*, 2013, **102(5)**: 0539011–0539015.
- [8] WANG Y, GONG H, FAN B H, et al. Photovoltaic behavior of nanocrystalline SnS/TiO<sub>2</sub>. *J. Phys. Chem. C*, 2010, **114(7)**: 3256–3259.
- [9] GUO W, SHEN Y H, WU M X, et al. Highly efficient inorganic-organic heterojunction solar cells based on SnS-sensitized spherical TiO<sub>2</sub> electrodes. *Chem. Commun.*, 2012, **48(49)**: 6133–6135.
- [10] XU Y, AL-SALIM N, BUMBY C W, et al. Synthesis of SnS quantum dots. *J. Am. Chem. Soc.*, 2009, **131(44)**: 15990–15991.
- [11] MIYAUCHI M. Tailoring of SnS quantum dots in mesoporous media for efficient photoelectrochemical device. *Chem. Phys. Lett.*, 2011, **514(1/2/3)**: 151–155.
- [12] ODA Y, SHEN H P, ZHAO L, et al. Energetic alignment in non-toxic SnS quantum dot-sensitized solar cell employing spiro-OMeTAD as the solid-state electrolyte. *Sci. Technol. Adv. Mater.*, 2014, **15(3)**: 0350061–0350068.
- [13] ZHANG X P, LAN Z, CHEN L, et al. Preparation and photovoltaic performance of SnS sensitized nanocrystallite TiO<sub>2</sub> photoanode. *J. Inorg. Mater.*, 2013, **28(10)**: 1093–1097.
- [14] SINSEMSUAKUL P, SUN L Z, LEE S W, et al. Overcoming efficiency limitations of SnS-based solar cells. *Adv. Energy Mater.*, 2014, **4(15)**: 14004961–14004967.
- [15] AKSAY S, OZER T, ZOR M. Vibrational and X-ray diffraction spectra of SnS film deposited by chemical bath deposition method. *Eur. Phys. J.-Appl. Phys.*, 2009, **47(3)**: 305021–305023.
- [16] RAGINA A J, MURALI K V, PREETHA K C, et al. UV irradiated wet chemical deposition and characterization of nanostructured tin sulfide thin films. *J. Mater. Sci.-mater Electron.*, 2012, **23(12)**: 2264–2271.
- [17] FALKE S M, ROZZI C A, BRIDA D, et al. Coherent ultrafast charge transfer in an organic photovoltaic blend. *Science.*, 2014, **344(6187)**: 1001–1005.
- [18] XIONG J, YANG B C, ZHOU C H, et al. Enhanced efficiency and stability of polymer solar cells with TiO<sub>2</sub> nanoparticles buffer layer. *Org. Electron.*, 2014, **15(4)**: 835–843.
- [19] YANG B, YUAN Y B, HHUANG J S. Reduced bimolecular charge recombination loss in thermally annealed bilayer heterojunction photovoltaic devices with large external quantum efficiency and fill factor. *J. Phys. Chem. C*, 2014, **118(10)**: 5196–5202.
- [20] REYES-REYES M, KIM K, CARROL D L. High-efficiency photovoltaic devices based on annealed poly(3-hexylthiophene) and 1-(3-methoxycarbonyl)-propyl-1-phenyl-(6,6)C-61 blends. *Appl. Phys. Lett.*, 2005, **87(8)**: 0835061–0835063.
- [21] HAIDAR G L, KHALID I A, HUSSAIN A. The photovoltaic efficiency of the fabrication of copolymer P3HT:PCBM on different thickness nano-anatase titania as solar cell. *SPECTROCHIM ACTA PART A: Molecular and Biomolecular Spectroscopy*, 2015, **145**: 598–603.
- [22] DOCAMPO P, BALL J M, DARWICH M, et al. Efficient organometal trihalide perovskite planar-heterojunction solar cells on flexible polymer substrates. *Nat. Commun.*, 2013, **4**: 27611–27616.
- [23] PATEL T H. Influence of deposition time on structural and optical properties of chemically deposited sns thin films. *The Open Surface Science Journal*, 2012, **4**: 6–13.
- [24] LEFRANCOIS A, LUSCZYNKA B, PEPIN-DONAT B, et al. Enhanced charge separation in ternary P3HT/PCBM/CuInS<sub>2</sub> nanocrystals hybrid solar cells. *Sci. Rep.*, 2015, **5**: 77681–77688.
- [25] SOHILA S, RAJALAKSHMI M, GHOSH C, et al. Optical and Raman scattering studies on SnS nanoparticles. *J. Alloys. Compd.*, 2011, **509(19)**: 5843–5847.
- [26] LIU Y K, HOU D D, WANG G H. Synthesis and characterization of SnS nanowires in cetyltrimethylammoniumbromide (CTAB) aqueous solution. *Chem. Phys. Lett.*, 2003, **379(1/2)**: 67–73.